

7. Принципы создания композиционных полимерных материалов/ Ал.Ал. Берлин, С.А. Вольфсон, В.Г. Ошмян и др. – М.: Химия, 1990.
8. Ханин М.В., Зайцев Г.П. Изнашивание и разрушение полимерных композиционных материалов. – М.: Химия, 1990.
9. Хасуй А. Техника напыления: Пер. с японского. – М.: Машиностроение, 1975.
10. Яковлев А.Д., Здор В.Ф., Каплан В.И. Порошковые полимерные материалы и покрытия на их основе. 2-е изд., перераб. – Л.: Химия, 1979.

## СТАТИСТИЧЕСКИЙ АНАЛИЗ ИЗНОСОВ ШЛИЦОВ ПЕРВИЧНОГО ВАЛА КОРОБКИ ПЕРЕДАЧ ТРАКТОРА Т-150

**A.B. Сайчук, аспирант**

*XГГУСХ*

(г. Харьков, Украина)

### **Statistical analysis of wears of groove of the primary billow G-B of the T-150 tractor**

A statistical analysis of wear of groove of the primary billow G-B of the T-150 tractor is executed. It is shown, that nature of wear of groove enough well submits to distribution logarithmic normal and in accord with the Veibyl law.

**Проблема.** При исследовании износа шлицов первичного вала коробки передач (КП) трактора Т-150 в первой части выполненных исследований [1] были получены результаты, из которых можно заключить, что величина износа шлицов не описывается нормальным распределением.

**Анализ последних исследований.** Отклонение в данном случае объясняется тем, что износ шлицов вала, как и многих других деталей, является следствием протекания нескольких видов изнашивания [5].

**Цель исследования.** Для описания наиболее полного согласования теоретической и экспериментальной кривой износа следует провести оценку с использованием законов логарифмически нормального распределения и Вейбулла. Вторая часть научной работы посвящается именно этому исследованию, которое будет использо-

вано при выборе технологических параметров восстановления деталей с учетом их фактического износа.

**Результаты исследования.** Вычисляем параметры логарифмически нормального распределения, используя графический метод. На горизонтальной оси откладываем значение  $\lg x_i$ , а на вертикальной оси – значение  $Z_a$  – квантилей нормального распределения. Построив опытные точки (значения их выбираем из таблицы 1, колонки 3 и 7), описываем их прямой. С этой прямой при тех же значениях  $\lg x_i$  снимаем  $Z_{aT}$  – теоретические квантили.

Последовательность этих вычислений приведена в таблице 1.

Таблица 1. Последовательность вычислений, необходимых для построения графика  $Z_a = f(\lg x)$

Номер интервала	Середина интервала	$\lg x_i$	$m_i$	$W = am_i$ $\sum_{i=1}^n m_i$	$W_i$ накопления	Квантиль $Z_a$	Квантиль теоретический, $Z_{aT}$	Вероятность интервала Р(X) накопления	$P(x) - W_i$ накопления
1	0,3	-0,532	19	+0,120	+0,120	-1,175	-1,23	0,110	0,01
2	0,9	-0,046	46	+0,290	+0,410	-0,228	-0,04	0,470	0,06
3	1,5	0,18	40	0,250	0,66	0,412	0,50	0,690	0,03
4	2,1	0,32	20	0,127	0,787	0,796	0,80	0,790	0
5	2,7	0,34	16	0,100	0,887	1,211	1,10	0,860	0,03
6	3,3	0,52	7	0,044	0,931	1,484	1,32	0,910	0,02
7	3,9	0,59	3	0,020	0,951	1,656	1,40	0,920	0,03
8	4,5	0,65	4	0,025	0,976	1,965	1,48	0,929	0,05
9	5,1	0,71	1	0,006	0,982	2,108	1,52	0,935	0,05
10	5,7	0,76	1	0,006	0,988	2,270	1,55	0,940	0,05
11	6,3	0,80	1	0,006	0,994	2,512	1,64	0,945	0,05

В таблице 1 во 2-й колонке приведена середина интервала, в 3-й – логарифм середины интервала, в 4-й – эмпирические частоты, в 5-й – эмпирические частоты, в 6-й – эмпирические накопленные частоты, в 7-й – квантили, в 8-й – теоретические квантили, определенные по графику (рис. 1), в 9-й – вероятность интервала накопления, в 1-ой – разность накопленных вероятностей и частотностей. Для нахождения значений  $x$  и  $\sigma$  строим график зависимостей квантилей.

$\lg x_i$  и  $Z_a$ , показаны на рисунке 2. Используя этот график и специальную методику вычисления параметров распределения  $x$  и  $\sigma$ , находим их значения:  $x \approx 1,58$ ;  $\sigma \approx 0,92$  [3].

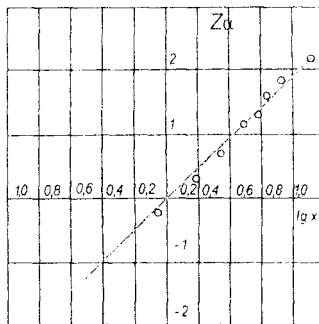


Рис.1. Определение квантилей логарифмически нормального распределения

Проверяем, соответствует ли гипотеза распределения величины износа логарифмически нормальному распределению. Необходимые данные для вычисления критериев согласия  $\chi^2$  и  $\lambda$  приведены в таблице 2.

Таблица 2. Данные для вычисления критериев согласия

Номер интервала	$x_i$	$m_i$	$m_i'$	$m_i - m_i'$	$(m_i - m_i')^2 / m_i'$	$m_i$ накопленное	$m_i'$ накопленное	$ m_i - m_i'  I$
1	0,3	19						
2	0,9	46	17,38	1,62	0,15	19	17,38	1,62
3	1,5	40	56,68	10,68	2,08	65	74,16	9,16
4	2,1	20	34,76	5,24	0,76	105	108,92	3,92
5	2,7	16	15,80	4,20	1,07	125	124,72	1,72
6	3,3	7	11,06	4,94	1,75	141	135,78	5,22
7	3,9	3	7,90	0,90	0,10	148	143,68	4,32
8	4,5	4	1,580	1,480	0,287	151	145,26	5,76
9	5,1	1			-			
10	5,7	1	3,95	3,005	2,35	158	149,21	8,79
11	6,3	1			-			
Сумма		158			9,547			

Находим  $P_{\chi^2}(x^2)=0,09>0,05$ . Следовательно, рассматриваемое распределение согласуется с логарифмически нормальным законом. График функции приведен на рисунке 2 (критерий согласия  $\lambda=0,72$ ). При этом  $P(\lambda)=0,3<<0,05$ , т.е. рассматриваемое эмпирическое распределение согласуется с логарифмически нормальным законом.

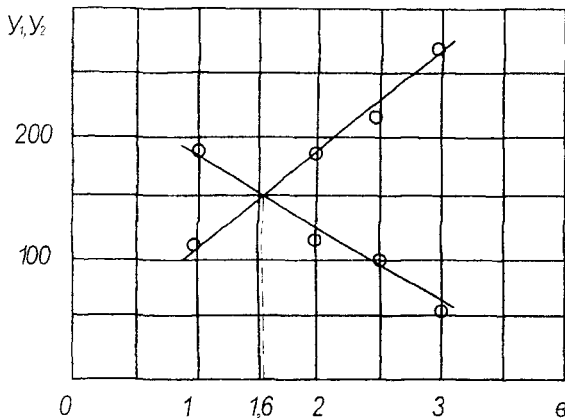


Рис. 3. Определение параметров согласно закону распределения Вейбулла: 1 – нормаль возрастания по закону Вейбулла; 2 – нормаль убыли по закону Вейбулла

Вычислим параметры распределения Вейбулла, используя графический метод, при помощи вспомогательных величин. На рисунке 3 показан график для определения параметров  $a$  и  $b$  распределения Вейбулла. Вспомогательные величины  $y_1$  и  $y_2$  определены по формулам

$$Y_1 = N/b + \sum i p x_i m_i; \quad Y_2 = N \sum x_i^{b \ln x_i} m_i / \sum x_i^b m_i.$$

При известной из графика величине параметра  $b$  значение  $a$  распределения Вейбулла определяется как  $a = \sqrt[b]{\sum x_i^b / n}$  [4].

Для данного распределения  $a=1,6$ ;  $b=1,62$ .

По величине параметра  $a$  определяем среднее значение  $x_i$  и среднее квадратическое отклонение  $\sigma$

$$x_i = a \cdot k_b = 1,62 \cdot 0,897 = 1,453;$$

$$\sigma = a \cdot c_b = 1,62 \cdot 0,597 = 0,967,$$

где  $k_b$  и  $c_b$  – коэффициенты, определяемые из уравнений

$$k_b = \Gamma(1-1/b) = \Gamma(1-1/1,6) = 0,897;$$

$$c_b = \sqrt{\Gamma(1+2/b)} - k_b^2 = \sqrt{1,164} - 0,805 = 0,597.$$

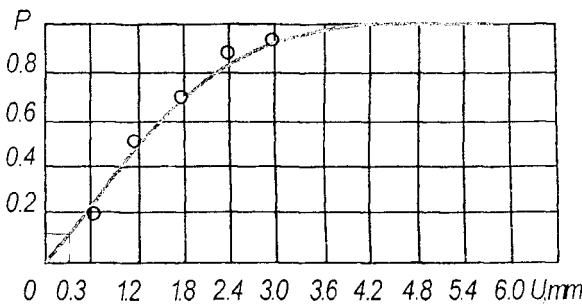


Рис. 3. Интегральная функция закона распределения Вейбулла

Значение гамма-функции выражается как  $\Gamma(x)$ . Зная параметры распределения  $a$  и  $b$ , среднюю величину  $x$  и среднее квадратическое отклонение  $\sigma$ , находим теоретические частоты  $m_i$ , их значения вносим в колонку 1 таблицы 6.

Необходимые данные для вычисления критериев согласия  $\chi^2$  и  $\lambda$  для проверки гипотезы соответствия эмпирического распределения величины износа распределения Вейбулла приведены в таблице 3.

Таблица 3. Последовательность вычислений  
критериев согласия  $\chi^2$  и  $\lambda$

Номер интервала	$x_i$	$m_i$	$m_i'$	$m_i - m_i'$	$(m_i - m_i')^2 / m_i'$	$(m_i - m_i')^2 / m_i$	$m_{ih}$	$m_{hh}$	$ m_i - m_i'  I$
1	0,3	19	31,46	12,46	155,25	4,93	19	31,46	21,46
2	0,9	46	44,85	1,35	1,82	0,04	65	76,36	11,31
3	1,5	40	37,11	2,89	8,35	0,22	105	113,52	8,52
4	2,1	20	23,94	3,94	15,52	0,65	125	137,46	12,46
5	2,7	16	12,85	3,15	9,92	0,77	141	150,31	9,31
6	3,3	7	6,22	0,78	0,61	0,09	148	156,53	8,53
7	3,9	3	2,55	0,45	0,20	0,08	151	158,08	8,08
8	4,5	4	-	-	-	-	155	-	-
9	5,1	1	-	-	-	-	156	-	-
10	5,7	1	-	-	-	-	157	-	-
11	6,3	1	-	-	-	-	158	-	-
Сумма		158				6,78			

Как следует из таблицы 3, величина  $\chi^2=6,78$ , а число степеней свободы  $k=7-2-4=4$ ; при этом  $P_{\chi^2}(x^2)=0,15>0,05$ . В этом случае гипотезу о соответствии эмпирического распределения закона Вейбулла можно считать приемлемой. Рассчитанный по данным таблицы 3 критерий согласия  $\lambda=1,1$  при этом  $P_{\lambda}=0,17>0,05$ , т.е. гипотезу принимаем. График функции приведен на рисунке 4.

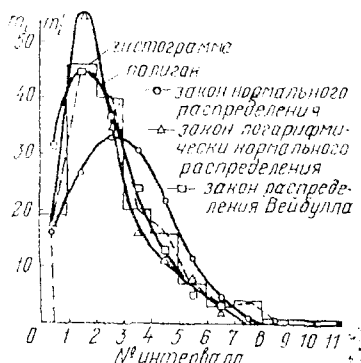


Рис. 4. Гистограмма, полигон и выровненные кривые трех законов распределения

**Выводы.** Анализируя полученные результаты, можно заключить, что эмпирическое распределение величины износа шлицев не описывается законом нормального распределения, но хорошо описывается распределением логарифмически нормальным и согласно закону Вейбулла. Используя интегральную функцию закона распределения Вейбулла (рис. 4), определим вероятность поступления деталей в ремонт с износом менее допустимого, который составляет  $(0,31 \text{ мм})$ , она составляет  $0,1 - 0,1$ . Это соответствует действительному положению с учетом остаточного ресурса машин.

## ЛИТЕРАТУРА

1. Статистический анализ износа шлицев первичного вала коробки передач трактора Т-150. Ч. I / Т.С. Скобло, В.И. Иванов, А.В. Сайчук // Вісник ХДТУСГ. “Підвищення надійності відновлюємих деталей машин”. Вип. 16. -- Харків, 2003.

2. Восстановление деталей и ремонт машин: Сб. / Под ред. Е.Л. Воловика. ГОСНИТИ. – Калуга, 1975.

3. Леонов А., Дроздов В., Корнеев Л. Электродуговая наплавка шлицевых валов.
4. Справочник технолога-машиностроителей: В 2 т. 3-е изд. Т. 2 / Под ред. А.Н.Макова. – М.: Машиностроение, 1972.
5. Казарик В.И. Методика расчета износа поверхности деталей. – М., 1982.
6. Самохощкий А.И., Порфеновская Н.Г. Технология термической обработки металлов. – М.: Машиностроение, 1976.

## **ОПРЕДЕЛЕНИЕ ТЕМПЕРАТУРЫ В ЗОНЕ ТРЕНИЯ ПРИ ФРИКЦИОННО-МЕХАНИЧЕСКИМ МЕДНЕНИИ ПРУТКОВЫМ ИНСТРУМЕНТОМ**

**Г.В. Брезгунов, инженер  
УО «БГСХА»  
(г. Горки, Республика Беларусь)**

### **Definition of temperature in a zone of abrasion at friction-mechanical a copperizing the rod instrument**

The procedure of definition of temperature in a zone of abrasion is circumscribed at friction-mechanical a copperizing by the rod instrument. Results of researches are reduced.

Финишная антифрикционная безабразивная обработка (ФАБО) деталей способствует увеличению их износостойкости. Сущность ее состоит в том, что поверхность взаимодействия трещущихся деталей покрывают слоем твердосмазочного материала путем использования явления переноса металла при трении. Толщина образуемого покрытия – 1 – 5 мкм. Наибольший интерес представляет фрикционно-механическое нанесение медьсодержащего металла на зеркала гильз цилиндров. Исследования показали, что наличие медьсодержащего покрытия приводит к уменьшению коэффициента трения между поршневым кольцом и зеркалом цилиндра в 2 раза, а срок службы двигателей повышается на 20-25%, и расход топлива снижается на 2,8% [1].

Наиболее простым, не требующим сложного оборудования и недостаточно изученным способом финишной обработки является процесс нанесения латуни, бронзы и меди – фрикционное латунирование, бронзирование и меднение.